

ВЛИЯНИЕ РЕБЕРНОЙ СТРУКТУРЫ НА ИНТЕНСИФИКАЦИЮ СВОБОДНО-КОНВЕКТИВНОГО ТЕПЛОПЕРЕНОСА В ЗАМКНУТОЙ КВАДРАТНОЙ ПОЛОСТИ

Суан Хоанг Кхоа Лэ

Томский политехнический университет
ИШЭ, НОЦ И.Н. Бутакова, группа А0-11

Введение. Функционирование электронных систем и энергетического оборудования приводит к выделению большого количества тепла. Для обеспечения надежной и устойчивой работы отмеченных систем необходимо быстро отводить энергию от тепловыделяющих элементов. В настоящее время многие инженеры и исследователи занимаются поиском эффективных методов интенсификации теплообмена. Берглес [1, 2] выделил активные и пассивные методы интенсификации теплообмена, которые различаются наличием внешнего источника энергии, необходимого для поддержания активной системы.

Развитые поверхности теплообмена, включающие реберные структуры, относятся к группе пассивных методов улучшения теплопереноса. Они находят широкое применение в таких важных областях, как электроника, машиностроение, энергетика.

В данной работе изучается влияние реберной структуры на интенсивность теплообмена за счет естественной конвекции внутри замкнутой квадратной области.

Постановка задачи. Область решения представляет собой квадратную полость с твердыми непроницаемыми стенками размера L (рис. 1). Верхняя и нижняя стенки считаются теплоизолированными. На левой и правой вертикальных стенках поддерживаются постоянные температуры T_h и T_c ($T_h > T_c$). Сила тяжести направлена вертикально вниз. На левой стенке устанавливаются одинаковые твердые или пористые ребра, имеющие ширину h и длину l . Ребра расположены равномерно по высоте области.

Дифференциальные уравнения, описывающие процесс нестационарного конвективного теплопереноса в приближении Буссинеска в размерных переменных «скорость–давление», имеют следующий вид [3]:

– внутри воздушной полости:

$$\frac{\partial \bar{u}}{\partial x} + \frac{\partial \bar{v}}{\partial y} = 0 \quad (1)$$

$$\rho \left(\frac{\partial \bar{u}}{\partial t} + \bar{u} \frac{\partial \bar{u}}{\partial x} + \bar{v} \frac{\partial \bar{u}}{\partial y} \right) = - \frac{\partial \bar{p}}{\partial x} + \mu \left(\frac{\partial^2 \bar{u}}{\partial x^2} + \frac{\partial^2 \bar{u}}{\partial y^2} \right) \quad (2)$$

$$\rho \left(\frac{\partial \bar{v}}{\partial t} + \bar{u} \frac{\partial \bar{v}}{\partial x} + \bar{v} \frac{\partial \bar{v}}{\partial y} \right) = - \frac{\partial \bar{p}}{\partial y} + \mu \left(\frac{\partial^2 \bar{v}}{\partial x^2} + \frac{\partial^2 \bar{v}}{\partial y^2} \right) + \rho g \beta (T - T_c) \quad (3)$$

$$(\rho c)_f \left(\frac{\partial T}{\partial t} + \bar{u} \frac{\partial T}{\partial x} + \bar{v} \frac{\partial T}{\partial y} \right) = \lambda_f \left(\frac{\partial^2 T}{\partial x^2} + \frac{\partial^2 T}{\partial y^2} \right) \quad (4)$$

– внутри твердых ребер:

$$(\rho c)_{fin} \frac{\partial T}{\partial t} = \lambda_{fin} \left(\frac{\partial^2 T}{\partial x^2} + \frac{\partial^2 T}{\partial y^2} \right) \quad (5)$$

– внутри пористых ребер:

$$\frac{\partial \bar{u}}{\partial x} + \frac{\partial \bar{v}}{\partial y} = 0 \quad (6)$$

$$\rho \left(\frac{1}{\varepsilon} \frac{\partial \bar{u}}{\partial t} + \frac{\bar{u}}{\varepsilon^2} \frac{\partial \bar{u}}{\partial x} + \frac{\bar{v}}{\varepsilon^2} \frac{\partial \bar{u}}{\partial y} \right) = -\frac{\partial \bar{p}}{\partial x} + \frac{\mu}{\varepsilon} \left(\frac{\partial^2 \bar{u}}{\partial x^2} + \frac{\partial^2 \bar{u}}{\partial y^2} \right) - \frac{\mu}{K} \bar{u} - \frac{c_{FP}}{\varepsilon^{3/2} \sqrt{K}} \bar{u} \sqrt{\bar{u}^2 + \bar{v}^2} \quad (7)$$

$$\rho \left(\frac{1}{\varepsilon} \frac{\partial \bar{v}}{\partial t} + \frac{\bar{u}}{\varepsilon^2} \frac{\partial \bar{v}}{\partial x} + \frac{\bar{v}}{\varepsilon^2} \frac{\partial \bar{v}}{\partial y} \right) = -\frac{\partial \bar{p}}{\partial y} + \frac{\mu}{\varepsilon} \left(\frac{\partial^2 \bar{v}}{\partial x^2} + \frac{\partial^2 \bar{v}}{\partial y^2} \right) - \frac{\mu}{K} \bar{v} - \frac{c_{FP}}{\varepsilon^{3/2} \sqrt{K}} \bar{v} \sqrt{\bar{u}^2 + \bar{v}^2} + \rho g \beta (T - T_c) \quad (8)$$

$$(\rho c)_{pm} \frac{\partial T}{\partial t} + (\rho c)_f \left(\bar{u} \frac{\partial T}{\partial x} + \bar{v} \frac{\partial T}{\partial y} \right) = \lambda_{pm} \left(\frac{\partial^2 T}{\partial x^2} + \frac{\partial^2 T}{\partial y^2} \right) \quad (9)$$

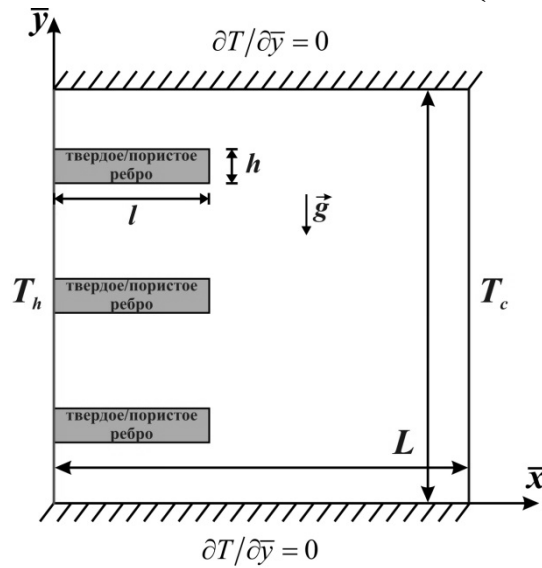


Рис. 1. Область решения задачи

С целью исключения поля давления в систему уравнений (1)–(9) вводятся

преобразованные переменные – функция тока $\left(\bar{u} = \frac{\partial \psi}{\partial y}, \bar{v} = -\frac{\partial \psi}{\partial x} \right)$ и завихренность

скорости $\left(\bar{\omega} = \frac{\partial \bar{v}}{\partial x} - \frac{\partial \bar{u}}{\partial y} \right)$, а также применяются следующие безразмерные

параметры:

$$x = \frac{\bar{x}}{L}, y = \frac{\bar{y}}{L}, \tau = t \sqrt{\frac{g\beta(T_h - T_c)}{L}}, u = \frac{\bar{u}}{\sqrt{g\beta(T_h - T_c)L}}, v = \frac{\bar{v}}{\sqrt{g\beta(T_h - T_c)L}},$$

$$\theta = \frac{T - T_c}{T_h - T_c}, \psi = \frac{\bar{\psi}}{\sqrt{g\beta(T_h - T_c)L^3}}, \omega = \bar{\omega} \sqrt{\frac{L}{g\beta(T_h - T_c)}} \quad (10)$$

В результате определяющие уравнения принимают следующий вид:
– внутри воздушной полости

$$\frac{\partial^2 \psi}{\partial x^2} + \frac{\partial^2 \psi}{\partial y^2} = -\omega \quad (11)$$

$$\frac{\partial \omega}{\partial \tau} + \frac{\partial \psi}{\partial y} \frac{\partial \omega}{\partial x} - \frac{\partial \psi}{\partial x} \frac{\partial \omega}{\partial y} = \sqrt{\frac{Pr}{Ra}} \left(\frac{\partial^2 \omega}{\partial x^2} + \frac{\partial^2 \omega}{\partial y^2} \right) + \frac{\partial \theta}{\partial x} \quad (12)$$

$$\frac{\partial \theta}{\partial \tau} + \frac{\partial \psi}{\partial y} \frac{\partial \theta}{\partial x} - \frac{\partial \psi}{\partial x} \frac{\partial \theta}{\partial y} = \frac{1}{\sqrt{Pr \cdot Ra}} \left(\frac{\partial^2 \theta}{\partial x^2} + \frac{\partial^2 \theta}{\partial y^2} \right) \quad (13)$$

– внутри твердых ребер

$$\frac{\partial \theta}{\partial \tau} = \frac{a_{fin}/a_f}{\sqrt{Pr \cdot Ra}} \left(\frac{\partial^2 \theta}{\partial x^2} + \frac{\partial^2 \theta}{\partial y^2} \right) \quad (14)$$

– внутри пористых ребер

$$\frac{\partial^2 \psi}{\partial x^2} + \frac{\partial^2 \psi}{\partial y^2} = -\omega \quad (15)$$

$$\varepsilon \frac{\partial \omega}{\partial \tau} + \frac{\partial \psi}{\partial y} \frac{\partial \omega}{\partial x} - \frac{\partial \psi}{\partial x} \frac{\partial \omega}{\partial y} = \varepsilon \sqrt{\frac{Pr}{Ra}} \left(\frac{\partial^2 \omega}{\partial x^2} + \frac{\partial^2 \omega}{\partial y^2} - \frac{\varepsilon}{Da} \omega \right) - c_F \sqrt{\frac{\varepsilon}{Da}} \omega \sqrt{\left(\frac{\partial \psi}{\partial x} \right)^2 + \left(\frac{\partial \psi}{\partial y} \right)^2} +$$

$$+ \frac{c_F}{\sqrt{\left(\frac{\partial \psi}{\partial x} \right)^2 + \left(\frac{\partial \psi}{\partial y} \right)^2}} \sqrt{\frac{\varepsilon}{Da}} \left\{ \left(\frac{\partial \psi}{\partial x} \right)^2 \frac{\partial^2 \psi}{\partial x^2} + \left(\frac{\partial \psi}{\partial y} \right)^2 \frac{\partial^2 \psi}{\partial y^2} + 2 \frac{\partial \psi}{\partial x} \frac{\partial \psi}{\partial y} \frac{\partial^2 \psi}{\partial x \partial y} \right\} + \varepsilon^2 \frac{\partial \theta}{\partial x} \quad (16)$$

$$\gamma \frac{\partial \theta}{\partial \tau} + u \frac{\partial \theta}{\partial x} + v \frac{\partial \theta}{\partial y} = \frac{a_{pm}/a_f}{\sqrt{Ra Pr}} \left(\frac{\partial^2 \theta}{\partial x^2} + \frac{\partial^2 \theta}{\partial y^2} \right) \quad (17)$$

Здесь

$$Pr = \frac{\nu}{a_f}, Ra = \sqrt{\frac{g\beta(T_h - T_c)L^3}{\nu a_f}}, \frac{a_{fin}}{a_f} = \frac{\lambda_{fin}}{(\rho c)_{fin}} \frac{(\rho c)_f}{\lambda_f}, Da = \frac{K}{L^2},$$

$$c_F = \frac{1.75}{\sqrt{150}}, \gamma = \frac{(\rho c)_{pm}}{(\rho c)_f}, \frac{a_{pm}}{a_f} = \frac{\lambda_{pm}}{\lambda_f}.$$

Начальные и граничные условия для системы уравнений (11)–(17):

$$\tau = 0 \rightarrow \psi = \omega = 0, \theta = 0.5$$

$$\tau > 0 \rightarrow x = 0, 0 \leq y \leq 1, \psi = 0, \frac{\partial \psi}{\partial x} = 0, \theta = 1$$

$$x = 1, 0 \leq y \leq 1, \psi = 0, \frac{\partial \psi}{\partial x} = 0, \theta = 0$$

$$y = 0 \text{ и } y = 1, 0 \leq x \leq 1 \quad \psi = 0, \frac{\partial \psi}{\partial y} = 0, \frac{\partial \theta}{\partial y} = 0$$

$$\text{на поверхности твердых ребер: } \begin{cases} \psi = 0, \\ \frac{\partial \psi}{\partial n} = 0, \end{cases} \begin{cases} \theta_s = \theta_f \\ \frac{\partial \theta_f}{\partial n} = \frac{\lambda_s}{\lambda_f} \frac{\partial \theta_s}{\partial n} \end{cases}$$

на поверхности пористых ребер:

$$\begin{cases} \psi|_{pm} = \psi|_f \\ \frac{\partial \psi}{\partial n}|_{pm} = \frac{\partial \psi}{\partial n}|_f \end{cases} \begin{cases} \omega|_{pm} = \omega|_f \\ \frac{\partial \omega}{\partial n}|_{pm} = \frac{\partial \omega}{\partial n}|_f \end{cases} \begin{cases} \theta|_{pm} = \theta|_f \\ \frac{\lambda_{pm}}{\lambda_f} \frac{\partial \theta}{\partial n}|_{pm} = \frac{\partial \theta}{\partial n}|_f \end{cases}$$

Система уравнений (11)–(17) с соответствующими начальными и граничными условиями решалась методом конечных разностей [4]. В ходе решения было проанализировано влияние материала твердых и пористых ребер, количества ребер и числа Дарси на структуру течения и теплоперенос. В результате была установлена возможность интенсификации теплопереноса при использовании пористых ребер.

ЛИТЕРАТУРА:

1. Bergles A.E. Handbook of Heat Transfer. – New York: McGraw-Hill, 1998. – 125 с.
2. Bergles A.E. The implications and challenges of enhanced heat transfer for the chemical process industries // Chemical Engineering Research and Design. – 2001. – N 79. – С. 437-444.
3. Asl A.K., Hossainpour S., Rashidi M.M., Sheremet M.A., Yang Z. Comprehensive investigation of solid and porous fins influence on natural convection in an inclined rectangular enclosure // International Journal of Heat and Mass Transfer. – 2019. – N 133 – С. 729-744.
4. Шеремет М.А. Сопряженные задачи естественной конвекции: Замкнутые области с локальными источниками тепловыделения. – Saarbrücken: LAP Lambert Academic Publishing, 2011. – 167 с.

Научный руководитель: М.А. Шеремет, д.ф.-м.н., профессор НОЦ И.Н.Бутакова ИШЭ ТПУ.